

非線形  $k-\epsilon$  モデルによる横流入部の渦運動解析

和歌山工業高等専門学校 正員 木村一郎  
 京都大学工学部 正員 細田尚雄  
 京都大学工学部 正員 村本嘉雄

1. はじめに：河川合流部等の開水路流れ横流入部付近では、せん断不安定に起因する水平面内の大規模渦が発生し、河床変動、河岸浸食等に影響を与える。本研究では、水深積分された  $k-\epsilon$  モデルを用いて図-1 に示すような開水路横流入部の渦運動の再現計算を試みる。従来の研究よりカルマン渦等の標準型  $k-\epsilon$  モデルによる再現性が非常に悪いことが指摘されている<sup>1)</sup>。そこで、渦運動粘性項の Strain Parameter 依存性を導入し、さらに構成則に非線形性を考慮したモデルについて検討を行う。

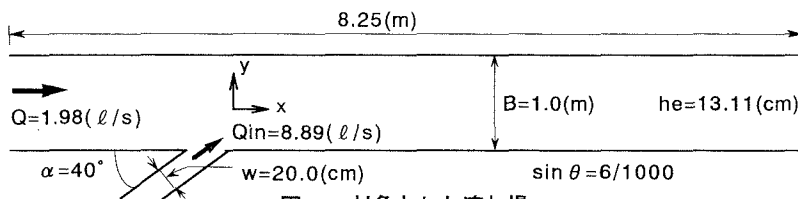


図-1 対象とした流れ場

2. 基礎式および数値計算法：水深積分された標準型  $k-\epsilon$  モデルの基礎式を次に示す。

<p>[連続式]</p> $\frac{\partial h}{\partial t} + \frac{\partial M}{\partial x} + \frac{\partial N}{\partial y} = 0 \quad \dots \dots \dots \quad (1)$ <p>[運動方程式]</p> $\begin{aligned} \frac{\partial M}{\partial t} + \frac{\partial \beta U M}{\partial x} + \frac{\partial \beta V M}{\partial y} + g h \frac{\partial h}{\partial x} \\ = g h \sin \theta - \frac{1}{\rho} \tau_{bx} + \frac{\partial -\bar{u}^2 h}{\partial x} + \frac{\partial -\bar{u}\bar{v} h}{\partial y} + \nu \left\{ \frac{\partial}{\partial x} \left( h \frac{\partial U}{\partial x} \right) + \frac{\partial}{\partial y} \left( h \frac{\partial U}{\partial y} \right) \right\} \end{aligned} \quad \dots \dots \dots \quad (2)$ $\begin{aligned} \frac{\partial N}{\partial t} + \frac{\partial \beta U N}{\partial x} + \frac{\partial \beta V N}{\partial y} + g h \frac{\partial h}{\partial y} \\ = -\frac{1}{\rho} \tau_{by} + \frac{\partial -\bar{u}\bar{v} h}{\partial x} + \frac{\partial -\bar{v}^2 h}{\partial y} + \nu \left\{ \frac{\partial}{\partial x} \left( h \frac{\partial V}{\partial x} \right) + \frac{\partial}{\partial y} \left( h \frac{\partial V}{\partial y} \right) \right\} \end{aligned} \quad \dots \dots \dots \quad (3)$ <p>[<math>k</math>-方程式, <math>\epsilon</math>-方程式]</p> $\frac{\partial k}{\partial t} + \frac{\partial U k}{\partial x} + \frac{\partial V k}{\partial y} = + \frac{\partial}{\partial x} \left\{ \left( \frac{D}{\sigma_k} + \nu \right) \frac{\partial k}{\partial x} \right\} + \frac{\partial}{\partial y} \left\{ \left( \frac{D}{\sigma_k} + \nu \right) \frac{\partial k}{\partial y} \right\} + P_h - \epsilon + c_k \frac{u_*^3}{h} \quad \dots \dots \dots \quad (4)$ $\frac{\partial \epsilon}{\partial t} + \frac{\partial U \epsilon}{\partial x} + \frac{\partial V \epsilon}{\partial y} = + \frac{\partial}{\partial x} \left\{ \left( \frac{D}{\sigma_\epsilon} + \nu \right) \frac{\partial \epsilon}{\partial x} \right\} + \frac{\partial}{\partial y} \left\{ \left( \frac{D}{\sigma_\epsilon} + \nu \right) \frac{\partial \epsilon}{\partial y} \right\} + c_{\epsilon 1} \frac{k}{\epsilon} P_h - c_{\epsilon 2} \frac{\epsilon^2}{k} + c_\epsilon \frac{u_*^4}{h^2} \quad \dots \dots \dots \quad (5)$ <p>[レイノルズ応力項]</p> $-\bar{u}_i \bar{u}_j = c_\mu \frac{k^2}{\epsilon} \left( \frac{\partial U_i}{\partial x_j} + \frac{\partial U_j}{\partial x_i} \right) - \frac{2}{3} k \delta_{ij} \quad \dots \dots \dots \quad (6)$
---

表-1 モデル定数				
	$c_\mu$	$c_{\epsilon 1}$	$c_{\epsilon 2}$	$\sigma_k$
	0.9	1.44	1.92	1.0
				1.3

	$A_1$	$A_2$
Run 1	0.35	0.3
Run 2	1.0	0.3

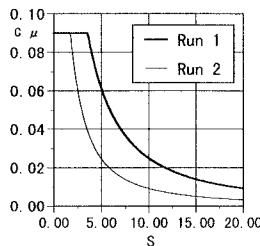
[生成項]

$$P_h = -\bar{u}_i \bar{u}_j \frac{\partial U_i}{\partial x_j} \quad \dots \dots \dots \quad (7)$$

ここに、 $D = c_\mu k^2 / \epsilon$ ,  $c_k = 1/\sqrt{c_f}$ ,  $c_\epsilon = 3.6 c_{\epsilon 2} \sqrt{c_\mu / c_f^{3/4}}$ ,  $u_* = \sqrt{c_f (U^2 + V^2)}$  である。また、 $h$ : 水深、 $(U, V)$ : 水深平均流速、 $(M, N)$ : 各々  $M = hU$ ,  $N = hV$  で定義される流量フラックス、 $-\bar{u}_i \bar{u}_j$ : 水深平均されたレイノルズ応力テンソル ( $i, j$  はともに 1, 2 の値をとり、1 は  $x$  方向、2 は  $y$  方向を意味する。)、 $\nu$ : 動粘性係数、 $\theta$ : 水路床勾配、 $\tau_{bx}, \tau_{by}$ : 底面せん断応力ベクトルの成分、 $\beta$ : 運動量係数、 $(x, y)$ : 空間座標、 $t$ : 時間を表す。用いたモデル定数を表-1 に示した。計算法としては有限体積法を用い、移流項に 2 次元 QUICK スキームを、時間積分にはアダムス・バシュフォース法を用いた。計算格子幅は、 $\Delta x = 5.0(cm)$ ,  $\Delta y = 2.0(cm)$  とし、計算時間間隔は、 $\Delta t = 0.00002(sec)$  とした。水理条件等は図-1 中に示した。

3. 数値計算結果の考察: 図-2 は標準型  $k-\epsilon$  モデルによる計算結果を示す。横流入に伴う循環流が再現されているが、非定常な渦の発振はみられない。そこで、モデルの改良を行うため、式(8)で定義される Strain Parameter  $S$  を導入して、Kato-Launder と類似の式(9)を用いて係数  $c_\mu$  を補正する<sup>1)</sup>。

$$S = \frac{k}{\epsilon} \sqrt{\frac{1}{2} \left( \frac{\partial U_i}{\partial x_j} + \frac{\partial U_j}{\partial x_i} \right)^2} \quad \dots \dots \dots (8) \quad c_\mu(S) = \min \left[ 0.09, \frac{A_2}{1 + A_1 \cdot (\min[20, S])^{1.5}} \right] \quad \dots \dots \dots (9)$$

図-3  $c_\mu(S)$  の関数形

式(9)中の定数  $A_1, A_2$  の値を表-2に示すように変化させて計算を行った。それぞれの条件における  $c_\mu(S)$  の関数形を図-3に示した。図-4,5はそれぞれ、Run 1およびRun 2による計算結果である。Run 1では循環が多少主流方向に引き伸ばされているものの、渦の発振には至っていない。一方、図-5では、非定常な渦の発振がみられる。図-6は図-5の計算で約10秒間の時間平均を行ったものである。図-1,2と比較すると、再付着点より下流側の流れが右岸に偏っていることがわかる。

次に、構成則に非線形性を考慮した非線形  $k-\epsilon$  モデルの導入を試みる。非線形

$k-\epsilon$  モデルの導出過程、およびモデル方程式の表示には類似のものがいくつかあるが、ここでは笠木らの提案するモデルを用いることにする<sup>2)</sup>。非線形  $k-\epsilon$  モデルによるレイノルズ応力の表示を式(10)に示す。

$$-\bar{u}_i \bar{u}_j = c_\mu \frac{k^2}{\epsilon} S_{ij} - \frac{2}{3} k \delta_{ij} - c_\mu \frac{k^3}{\epsilon^2} \sum_{\beta=1}^3 C_\beta \left( S_{\beta ij} - \frac{1}{3} S_{\beta \alpha \alpha} \delta_{ij} \right) \quad \dots \dots \dots (10)$$

$$S_{ij} = \frac{\partial U_i}{\partial x_j} + \frac{\partial U_j}{\partial x_i}, \quad S_{1ij} = \frac{\partial U_i}{\partial x_\gamma} \frac{\partial U_j}{\partial x_\gamma}, \quad S_{2ij} = \frac{1}{2} \left( \frac{\partial U_\gamma}{\partial x_i} \frac{\partial U_j}{\partial x_\gamma} + \frac{\partial U_\gamma}{\partial x_j} \frac{\partial U_i}{\partial x_\gamma} \right), \quad S_{3ij} = \frac{\partial U_\gamma}{\partial x_i} \frac{\partial U_\gamma}{\partial x_j}$$

図-7に示す計算結果は上述の非線形  $k-\epsilon$  モデルで  $C_1 = 0.4, C_2 = 0.0, C_3 = -0.15$  とし、さらにRun 2のStrain Parameterを導入したものである。図-5と比較して、渦の規模が大きくなっている。図-8はこの条件下約10秒間の時間平均を行ったもので、図-6と比較すると循環が若干引き延ばされていることがわかる。

- 参考文献 1) Kato-Launder : Proc. 9th symp. on TURBULENT SHEAR FLOW, Vol.1, pp.10-4-1~6, 1993.  
2) 明・笠木：機会学会論文集（B編），56巻，531号，pp.94-100, 1990.

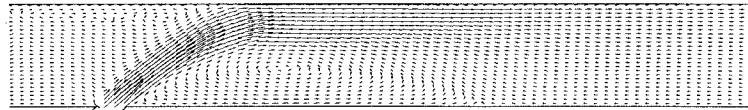
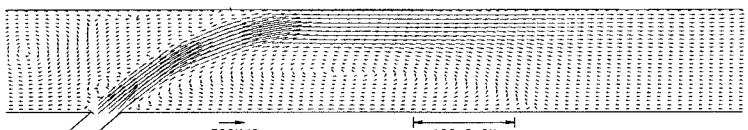
図-2 計算結果（標準型  $k-\epsilon$  モデル）

図-4 計算結果（Strain Parameter(Run 1) を導入）

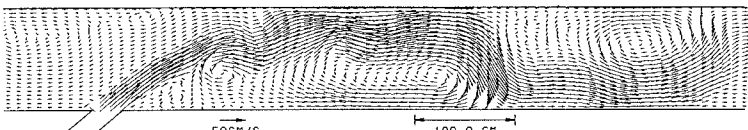


図-5 計算結果（Strain Parameter(Run 2) を導入）

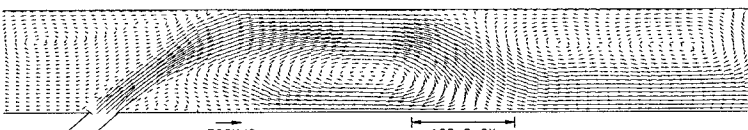


図-6 時間平均流速（図-5と同条件）

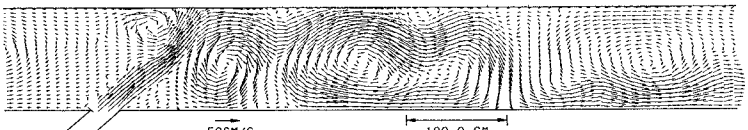
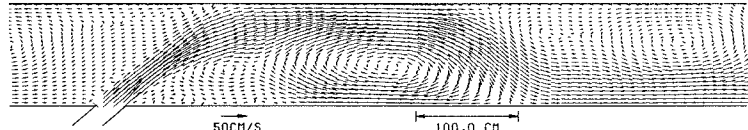
図-7 計算結果（非線形  $k-\epsilon$  モデルに Run 2 の Strain Parameter を導入）

図-8 時間平均流速（図-7と同条件）